

Министерство высшего и среднего специального образования  
Р С Ф С Р

Ордена Трудового Красного Знамени  
Научно-исследовательский радиофизический институт (НИФИ)

Препринт № 88

ГЕНЕРАЦИЯ ВТОРОЙ ГАРМОНИКИ  
В НЕРАВНОВЕСНЫХ СРЕДАХ

З. Ф. Красильщик

Горький - 1976 г.

## **А ннотация**

Обсуждаются условия генерации второй гармоники в зависимости от соотношений характерных для линейного затухания, синхронизма и нелинейного взаимодействия волны в неравновесной среде.

Вырожденное взаимодействие волн хорошо изучено для некоторых типов неравновесных сред, в которых рас能让ь энергий волн в процессе взаимодействия сохраняется [1]. При этом удается отыскать первые интегралы и, следовательно, записать общие решения для амплитуд и фаз волн. В общем же случае обмен энергией между волнами и неравновесной средой носит достаточно сложный характер, так что найти закон сохранения в системе волн не представляется возможным. В качестве примера можно указать на взаимодействие акустоэлектронных волн в пьезопроводниках [2,3], волн Гюлмине-Штихтинга в пограничном слое жидкости [4] и т.д. В настоящей работе приводятся некоторые общие для таких сред выводы об условиях генерации второй гармоники на основании качественного и аналитического рассмотрения уравнений для амплитуд и фаз волн, а также машинных экспериментов.

### 1. Качественный анализ взаимодействия

Система уравнений, описывающих вырожденное взаимодействие волн в стационарном ( $\frac{\partial}{\partial t} = 0$ ) режиме, имеет следующий вид [5]:

$$\left\{ \begin{array}{l} U_1 \frac{dU_1}{dx} = -\alpha_1 U_1 + \beta_1 e^{i\psi} U_1^* U_2 e^{-i\Delta Kx} \\ U_2 \frac{dU_2}{dx} = -\alpha_2 U_2 + \beta_2 U_1^2 e^{i\Delta Kx} \end{array} \right. \quad (1)$$

Здесь  $U_{1,2}$ ,  $\alpha_{1,2}$ ,  $\beta_{1,2}$  – соответственно групповые скорости, линейные декременты и модули коэффициентов нелинейного взаимодействия на основной ( $\omega$ ) и удвоенной ( $2\omega$ ) частотах;  $\Delta K = K_2 - 2K_1$  – расстройка волновых векторов гармоники  $K_2(2\omega)$  и волны основной частоты  $K_1(\omega)$ ;  $\psi$  – суммарная фаза коэффициентов нелинейного взаимодействия (в консервативных средах  $\psi = \delta$ ) [6].

Введем переменные  $a_1 = |U_1| \left( \frac{U_1 \omega_2}{V_1 V_2} \right)^{1/2}$ ,

$a_2 = |U_2| \frac{V_2}{V_1}$ , тогда при  $\alpha_{1,2} = \Delta K = 0$  система (1) перепишется в виде:

$$\begin{aligned} \frac{da_1}{dx} &= a_1 a_2 \cos(\theta + \psi) \\ \frac{da_2}{dx} &= a_1^2 \cos \theta \end{aligned} \quad (2)$$

$$\frac{d\theta}{dx} = -\frac{a_1^2}{a_2} \sin \theta - 2a_2 \sin(\theta + \psi), \quad \theta = \arg U_2 - 2 \arg U_1$$

Известно частное решение системы (2) [4], "взрывающееся на конечном расстоянии  $x^*$ :

$$a_1 = (x^* - x)^{-1} (\cos \theta^* \cos(\theta^* + \psi))^{-1/2}, \quad a_2 = (x^* - x)^{-1} (\cos(\theta^* + \psi))^{-1} \quad (3)$$

где  $\theta^*$  определяется из соотношений

$$\operatorname{tg} \theta^* + 2 \operatorname{tg}(\theta^* + \psi) = 0, \quad \cos(\theta^* + \psi) > 0 \quad (4)$$

а  $x^*$  – из граничных условий.

Покажем, что на достаточно больших расстояниях амплитуды  $a_{1,2}$  растут взрывным образом при произвольных граничных условиях  $a_1(x=0) > 0$ ,  $a_2(x=0) > 0$ , а фаза  $\theta$  в области "взрыва" близка к стационарному значению  $\theta^*$  – см. (4).

Исследуем топологию пространства  $\Omega(a_1, a_2, \theta)$  в области значений  $0 < a_{1,2} < \infty$ ,  $|\theta| \leq \pi$  (легко убедиться, что траектории в пространстве  $\Omega$  периодичны по  $\theta$  с периодом  $2\pi$ ). Трехмерную картину траекторий будем строить, исходя из вида сечений  $\Omega$  плоскостями  $a_{1,2} = a_{1,2}^0$ ,  $\theta = \theta^0$ , где  $a_{1,2}^0$  и  $\theta^0$  –

произвольные константы.

Качественный вид сечения  $\theta = \theta_0$  изображен на рис. 1. Значения  $a_1$  и  $a_2$  на плоскости  $(a_1, a_2)$  связаны уравнением

$$a_1^2 \cos \theta^0 = a_2^2 \cos(\theta^0 + \psi) + \text{const} \quad (5)$$

Устойчивость состояний равновесия на прямой  $a_1 = 0$  зависит от соотношения  $\theta^0$  и  $\psi$ .

Сечения  $a_{1,2} = a_{1,2}^0$  носят более сложный характер. Исследуем их для различных значений  $\psi$ .

а)  $0 < \psi < \frac{\pi}{2}$ . Качественный вид сечений  $a_1 = a_1^0$ ,  $a_2 = a_2^0$  изображен на рис. 2 а, б. На плоскостях  $(\theta, a_1)$  и  $(\theta, a_2)$  имеются по два состояния равновесия типа седло в точках  $\theta = \pi/2 - \psi$ ,  $a_1 = 0$  и  $\theta = -\pi/2 + \psi$ ,  $a_2 = 0$  соответственно (здесь  $\pi = 0,1$ ). При достаточно больших значениях  $a_1 \gg a_2^0$  и  $a_2 \gg a_1^0$  сепараторы седел приближаются к изоклиниам горизонтальных касательных  $a_1^2 \sin \theta + 2a_2^2 \sin(\theta + \psi) = 0$  на плоскостях  $a_{1,2} = a_{1,2}^0$ . В области малых значений амплитуд  $0 < a_1 \ll a_1^0$ ,  $0 < a_2 \ll a_2^0$  производные

$\frac{da}{da_{1,2}}(a_2, a_2^0) \gg 1$ , так что в пространстве  $\Omega$  траектории, приближаясь к плоскости  $a_1 = 0$  (либо  $a_2 = 0$ ), достаточно быстро переходят в слой  $\theta$ , где амплитуда

$a_1$  (либо  $a_2$ ) уже нарастает. Таким образом, при любых граничных значениях  $a_i(X=0) > 0$ ,  $a_i(X=0) \geq 0$  амплитуды в дальнейшем остаются положительными.

Из вида сечений  $a_{1,2} = a_{1,2}^0$  следует, что все траектории складываются в слой  $-\psi < \theta < 0$ , причем амплитуды  $a_{1,2}$  в этом слое нарастают одновременно — см. (б), рис. 1 а. При достаточно больших значениях  $a_{1,2}$  траектории сколь угодно близко приближаются к изоклине горизонтальных изоклини  $\Gamma = a_1^2 \sin \theta + 2a_2^2 \sin(\theta + \psi) = 0$ :

$(-\psi < \theta < 0)$ , одновременно сближаясь между собой (рис. 3 а). Следовательно, траектории приближаются к линии пересечения поверхностей  $\Gamma(a_1, a_2, -\psi, \theta < 0) = 0$  и плоскости  $\theta = \theta^*$ , соответствующей решению (3) системы (2).

Таким образом, можно заключить, что в области больших значений  $\theta_{1,2}$  разность фаз волн стремится к стационарному значению  $\theta^*$ . Волны  $\theta_{1,2}$  при этом нарастают взрывным образом:  $\theta_{1,2} \sim (\chi^* - \chi)^{-1}$ .

В пространстве  $\Omega$  на расстояниях  $\theta = \pm \pi$  от  $\Gamma = 0$  расположены аналогичные поверхности горизонтальных изоклий  $\Gamma_1 = \Gamma(\theta + \pi) = 0$  и  $\Gamma_2 = \Gamma(\theta - \pi) = 0$ . Топология траекторий вблизи этих поверхностей идентична описанной выше с точностью до смены направления движения на обратное. В целом траектории в пространстве  $\Omega$  периодичны по  $\theta$  с периодом  $2\pi$ .

б)  $\frac{\pi}{2} < \psi < \pi$ . При переходе  $\psi$  через  $\pi/2$  в сечениях  $\theta_1 = \theta_1^0$  и  $\theta_2 = \theta_2^0$  появляются новые состояния равновесия к координатам  $\xi_{1,2} \left( \pm \frac{\pi}{2} - \psi \right)$ ,

$\theta_2^0 \sqrt{-\frac{2}{\cos \psi}}$  на плоскости  $(\theta, \theta_1)$  и  $\xi_{3,4} \left( \pm \frac{\pi}{2}, \theta_1^0 \sqrt{-\frac{1}{2 \cos \psi}} \right)$  на плоскости  $(\theta, \theta_2)$ . При  $\frac{\pi}{2} < \psi < \arccos(-\frac{1}{3})$   $\xi_{1,3}$  -

устойчивые, а  $\xi_{2,4}$  - неустойчивые узлы. При переходе  $\psi$  через значение  $\psi_1 = \arccos(-1/3)$  узлы на плоскости  $(\theta, \theta_2)$  трансформируются в фокусы с тем же характером устойчивости. Аналогичная трансформация происходит и с состояниями равновесия  $\xi_{1,2}$  на плоскости  $(\theta, \theta_1)$  при переходе  $\psi$  через значение  $\psi_2 = -\arccos(-1/\sqrt{5})$ . Таким образом, при  $\psi_2 < \psi < \pi$  все

четыре состояния равновесия  $\xi_i$  - фокусы, причем  $\xi_{1,3}$  - устойчивые, а  $\xi_{2,4}$  - неустойчивые - рис. 2в, г.

Фазовый портрет системы (2) вблизи поверхности  $\Gamma = 0$  при  $\psi_2 < \psi < \pi$  изображен на рис. 3 б.

Как и в случае малых  $\psi$  (п. 1, а), при  $\theta_{1,2} \rightarrow \infty$  траектории сколь угодно близко приближаются к кривой  $\ell_1$ , соответствующей решению (3), так что разность фаз взаимодействующих волн выходит на стационарное значение  $\theta$ , а амплитуды нарастают взрывным образом.

На расстояниях  $\theta(\theta_1, \theta_2) = \theta(\theta_1, \theta_2) \pm \pi$  от изображенных траекторий  $\theta(\theta_1, \theta_2)$  расположены идентичные траектории с обратным направлением движения.

При замене  $\psi$  на  $-\psi$  траектории, изображенные на рис. 3, 4, зеркально отображаются относительно плоскости  $\theta = 0$  со сменой направления движения

на обратное.

Таким образом, качественный анализ пространства  $\Omega$  при  $|\Psi| < \lambda$  позволяет сделать вывод о том, что при любых граничных значениях  $U_1(x=0) > 0, U_2(x=0) > 0$ ,

$|\Psi| < \lambda$  волны  $U_{1,2}$  в конечном итоге "взрываются", причем в области "взрыва" разность фаз  $\theta$  близка к стационарному значению  $\theta^*$ . Распределение амплитуд

$U_{1,2}(x)$  и длина области "взрыва"  $x^*$  существенным образом зависят от фазы  $\Psi$ , коэффициентов нелинейного взаимодействия и граничных условий.

При  $|\Psi| = \lambda$  система (2) консервативна и легко интегрируется [6]. Первый интеграл имеет вид  $Q_1^2 + Q_2^2 = \text{const}$ , так что амплитуды  $U_{1,2}$  всюду ограничены.

## 2. Генерация второй гармоники. Аналитические и численные решения.

Приведем некоторые решения системы (1) с граничными условиями

$$U_1(x=0) = U_0, \quad U_2(x=0) = 0 \quad (6)$$

соответствующими задаче о генерации второй гармоники. В области малых значений  $\Psi$  ( $|\Psi| \ll \frac{1}{2}$ ), при  $\Delta K = -\alpha_{1,2} = 0$  решение системы (1) с граничными условиями (6) имеет вид<sup>+)</sup>

$$\begin{cases} U_1 = U_0 \operatorname{sec} z \left( 1 - \frac{5\Psi^2}{36} \right) \\ U_2 = U_0 \left( 1 - \frac{\Psi^2}{12} \right) \operatorname{tg} z \left( 1 - \frac{5\Psi^2}{36} \right), \quad \theta = -\frac{2\Psi}{3} \end{cases} \quad (7)$$

Здесь  $z = U_0 x \sqrt{\frac{\alpha_1 \alpha_2}{U_1 U_2}}$ . Волны  $U_{1,2}$  растут одновременно и "взрываются" на расстоянии  $x^* = \frac{2}{3} \sqrt{\frac{36}{5}} \left( 1 + \frac{5\Psi^2}{36} \right)$ . Численное решение системы (1) при  $\Delta K = \alpha_{1,2} = 0$  приведено на рис. 4. Как отмечалось, раз-

<sup>+)</sup> Решение (7) совпадает с известным [1] для  $\Psi = 0$ .

пределения  $U_{1,2}(x)$  существенным образом зависит от  $\psi$ . Волны "взрываются" на меньшей длине, если уже в области возбуждения  $0 < \chi < \frac{\pi}{2}$  накачка растет и поле гармоники (рис. 4а):  $U_1 = U_0 (1 + \frac{g^2}{2} \cos \psi)$ , так что  $\Delta u = U_1(\chi) - U_0 > 0$  при  $|\psi| < \frac{\pi}{2}$ . При

$\frac{\pi}{2} < |\psi| < \pi$  можно выделить две характерные стадии взаимодействия. На начальной стадии  $0 < \chi < \chi_1$  имеет место частичная перекачка энергии между волнами, на конечной  $\chi_1 < \chi < \chi^*$  стадии волны растут одновременно и "взрываются". При этом размеры начальной области  $\chi_1$  могут значительно превысить область одновременного роста амплитуд  $\chi^* - \chi_1 \sim \frac{\pi}{2}$  — рис. 4 б.

Рассинхронизм увеличивает длину "взрыва" волн, и при достаточно малых значениях  $U_{1,2}(x=0)_+$  может оказаться, что решение (1) всюду ограничено. Жесткое возбуждение взрывной неустойчивости может быть связано и с линейной диссиляцией волн. Например, при одинаковых декрементах  $\alpha_{1,2}^{++} = \delta$ ,  $\Delta K = 0$  накачка и генерируемая вторая гармоника "взрываются" на расстоянии  $x^*(\delta, \psi) = -\frac{1}{\delta} \ln \left( 1 - \frac{\delta}{U_0} \sqrt{\frac{U_1 U_2}{\beta_1 \beta_2}} \chi^*(\psi) \right)$ , где  $\chi^*(\psi)$  — зависимость длины "взрыва" от  $\psi$  при  $\delta = 0$  — рис. 5, а порог, соответственно, определяется из условия

$U_{0, \text{пор}} = \delta \chi^*(\psi) \sqrt{\frac{U_1 U_2}{\beta_1 \beta_2}}$ . Кривая  $\chi^*(\psi)$  хорошо аппроксимируется выражением  $\chi^* = \frac{x}{2} + \operatorname{tg} \frac{\psi}{2}$  с точностью  $|\frac{\chi^* - \chi^*}{\chi^*}| < 0,08$ .

При  $\delta < 0$  порог, разумеется, отсутствует, а длина "взрыва" значительно уменьшается с ростом инкремента волн.

Изложенные в работе результаты свидетельствуют о

+ ) Так, при  $\alpha_{1,2} = \psi = 0$  накачка и генерируемая вторая гармоника всюду ограничены, если  $U_0 < \frac{12}{12} \left( \frac{U_1 U_2}{\beta_1 \beta_2} \right)^{1/2} [1]$ .

++ ) В случае равенства линейных инкрементов (декрементов) волн система (1) при  $\Delta K = 0$  сводится к (2) заменой переменных  $Q_1 = e^{\delta x} |U_1| \left( \frac{\beta_1 \beta_2}{U_1 U_2} \right)^{1/2}$ ,

$$Q_2 = e^{\delta x} |U_2| \frac{\beta_1}{U_1}, \quad x' = -\frac{1}{\delta} \ln \left( \frac{1}{2} - xB \right).$$

взрывном характере взаимодействия волны основной и удвоенной частот в неравновесной среде.

В условиях полного синхронизма и отсутствии линейной диссипации гармоники и основная волна "взрываются" при произвольных граничных условиях  $U_1(x=0) > 0$ ,

$U_2(x=0) > 0$ . Распределения  $U_{1,2}(x)$  могут быть качественно различными в зависимости от соотношения фаз коэффициентов нелинейного взаимодействия. Бифуркационные значения  $\psi$  следующие:  $\pm \frac{\pi}{2}$ ,  $\arccos(-\frac{1}{3})$ ,  $\arccos(-\frac{1}{5})$ ,  $\pi$ . В работе приведены аналитические выражения  $U_{1,2}(x)$  для малых значений  $|\psi| \ll 1$  и численные решения для  $|\psi| < 180^\circ$ .

Жесткий режим возбуждения взрывной неустойчивости может быть связан как с линейной диссипацией, так и с рассинхронизмом волн. Например, при  $\alpha_{1,2} = b$ ,  $\Delta K = 0$   $U_{1,2,\text{нр}}$  определяется из выражения:  $U_{1,2,\text{нр}} = \delta \left( \frac{U_1 U_2}{b_1 b_2} \right)^{1/2} Z^*(\psi)$ , где  $Z^*(\psi)$  – зависимость длины взрыва от суммарной фазы коэффициентов нелинейного взаимодействия в отсутствии линейной диссипации волн.

Как правило, параметры  $\psi$ ,  $\alpha_{1,2}$ ,  $\beta_{1,2}$ ,  $\Delta K$  одновременно зависят от внешних источников, поддерживающих неравновесность среды. В условиях взаимосвязанности указанных величин поиск оптимальных режимов генерации чрезвычайно затруднен. При выяснении главных факторов, определяющих характер усиления волн, представляются полезными приведенные в работе обсуждения и оценки для некоторых соотношений длин линейного усиления (затухания), синхронизма и нелинейного взаимодействия волн.

К примеру, в пьезополупроводниках параметры  $\psi$ ,  $\alpha_{1,2}$ ,  $\beta_{1,2}$  и  $\Delta K$  меняются в широких пределах при различных значениях скорости дрейфа электронов  $U_d$ . Так, фаза  $\psi$  убывает от  $\pi$  до малых значений с ростом  $\Gamma = \frac{U_d}{U_s} - 1$  от 0 до  $\Gamma \gg 1$  [3] (Здесь  $U_s$  – скорость звука). Генерация акустической гармоники наиболее эффективна в области значений  $\Gamma \sim 4,2 \frac{\omega_c}{\omega}$ ,  $Q = \frac{\omega_c^2}{\omega_c \omega_d} \sim 3$ , где  $\omega$ ,  $\omega_c$  и  $\omega_d$  – соответственно частота волны накачки, максвелловская и диффузионная частоты.

При этом линейные инкременты воли и модули коэффициентов нелинейного взаимодействия близки к своим максимальным значениям, а фаза  $\psi \sim 48^\circ$ .

Автор благодарен Е.Н.Пелиновскому и М.И.Рабиновичу за обсуждение работы

## ПОДПИСИ К РИСУНКАМ

Рис. 1. Фазовый портрет сечения  $\theta = \theta^*$ .

а)  $-x, y > 0$ ; б)  $-x > 0, y < 0$

в)  $-x < 0, y > 0$ ; г)  $x, y < 0$

где  $x = \cos(\theta^* + \psi)$ ,  $y = \cos \theta^*$ .

Рис. 2. Фазовый портрет сечений  $a_1 = a_1^*$  и  $a_2 = a_2^*$   
при  $0 \leq \psi \leq \frac{\pi}{2}$  (а и б) и  $\arccos(-\frac{1}{\sqrt{3}}) \leq \psi \leq \pi$   
(в и г);

- 1 - изоклины горизонтальных касательных,  
2 - изоклины вертикальных касательных.

Рис. 3. Траектории в пространстве  $\Omega(a_1, a_2, \theta)$  вблизи  
поверхности горизонтальных изоклинов

$$\Gamma(a_1, a_2, -\psi < \theta < 0) = 0 \quad \text{при:}$$

а)  $0 \leq \psi \leq \frac{\pi}{2}$  и б)  $\arccos(-\frac{1}{\sqrt{3}}) < \psi < \pi$ .

На поверхность нанесена сетка. Кривые  $l_1, l_2, l_3$  -  
пересечение поверхности  $\Gamma = 0$  с плоскостями  
 $\theta = \theta^*$ ,  $\theta = -\frac{\pi}{2}$ ,  $\theta = \frac{\pi}{2} - \psi$ .

Рис. 4. Распределение волн  $U_{1,2}(\xi)$  при различных  
значениях суммарной фазы  $\psi$  коэффициентов  
нелинейного взаимодействия:

а) 1 -  $U_{1,0}$ , 2 -  $U_{3,0}$  при  $\psi = 0$ ; 3 -  $U_{4,0}$ , 4 -  $U_{2,0}$   
при  $|\psi| = 80^\circ$ , 5 -  $U_{1,0}$ , 6 -  $U_{3,0}$  при  $|\psi| = 80^\circ$ ;

б) 1 -  $U_{1,0}$ , 2 -  $U_{3,0}$  при  $|\psi| = 120^\circ$ ; 3 -  $U_{1,0}$ ,  
4 -  $U_{2,0}$  при  $|\psi| = 150^\circ$ , 5 -  $U_{4,0}$ , 6 -  $U_{2,0}$   
при  $|\psi| = 178.30^\circ$ .

Здесь  $U_{1,0} = U_1/U_0$ ,  $U_{2,0} = U_2/U_0$ ,

Рис. 5. Зависимость длины взрыва  $\xi^*$  от  $|\psi|$

## ЛИТЕРАТУРА

1. М.И.Рабинович. В.П.Реутов. Изв. ВУЗов. "Радиофизика", **16**, 815, 1973.
2. H.Kroger. Appl.Phys.Lett., **4**, 190, 1964.
3. З.Ф.Красильник. ФТИ, в печати.
4. A.D.Craik. J.Fluid.Mech., **50**, 393, 1971.
  
5. М.И.Рабинович, А.Л.Фабрикант. Изв. ВУЗов, "Радиофизика", **19**, 1976.
6. Н.Блюмберген. Нелинейная оптика.  
"Мир", М., 1962.

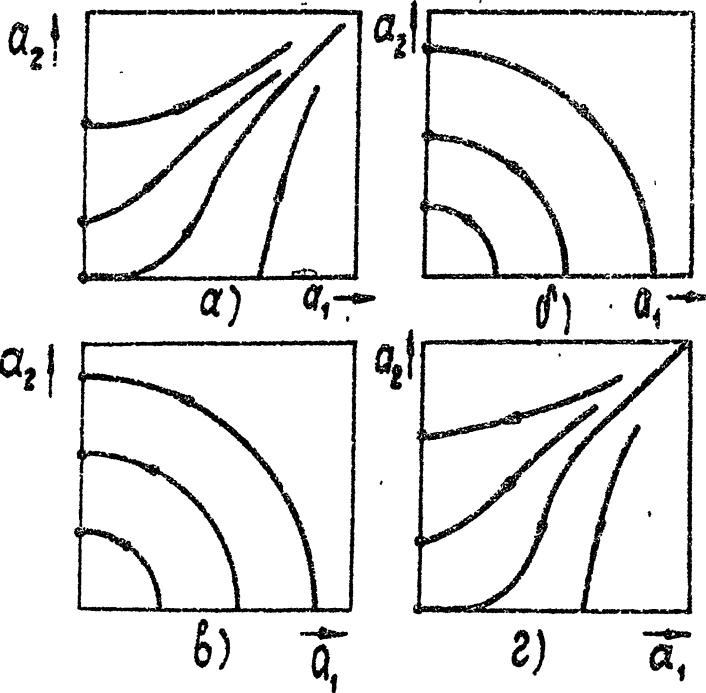
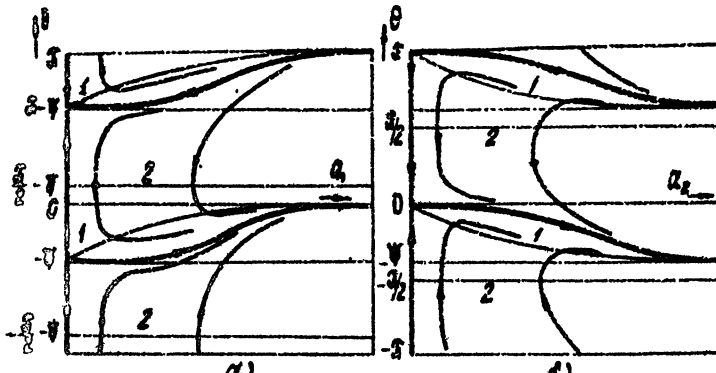
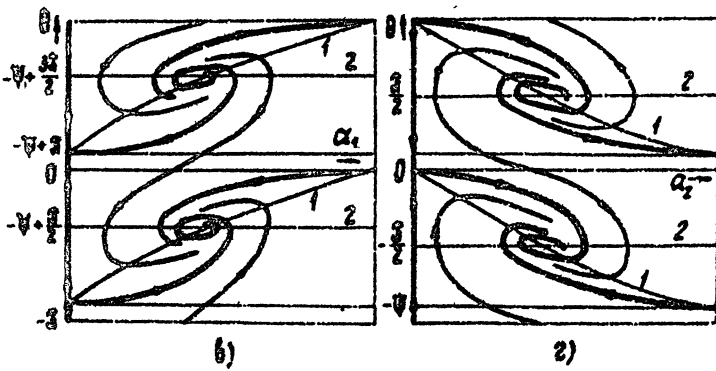


FIG. 1



a)

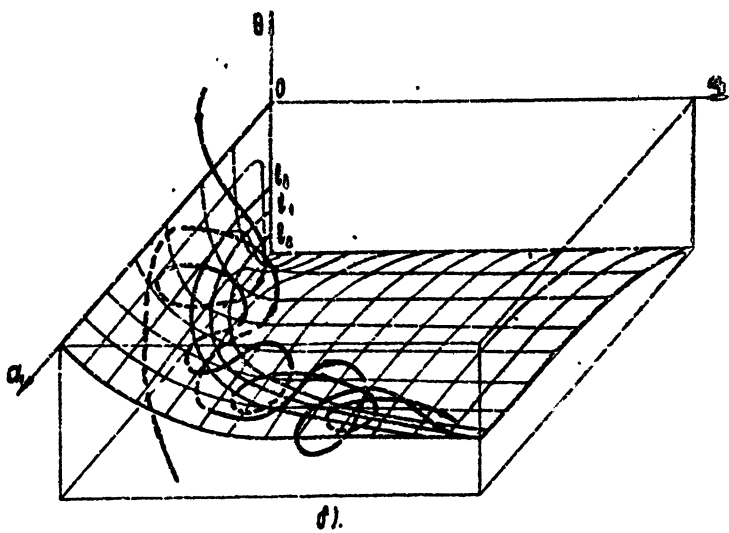
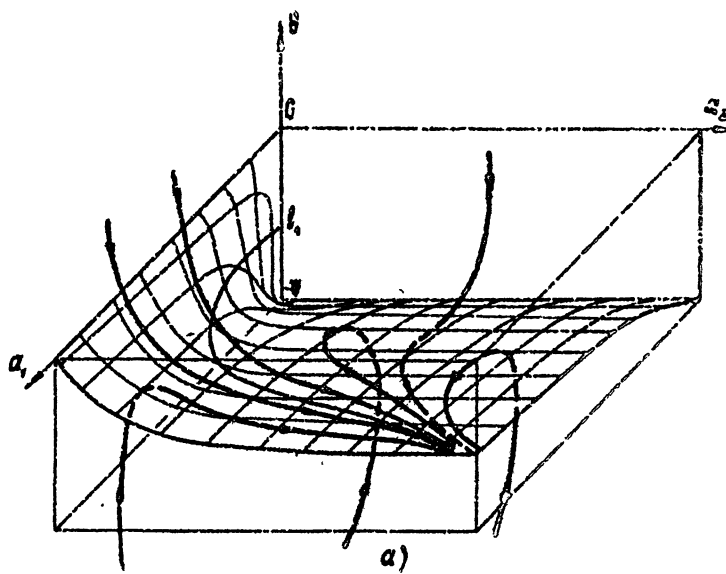
b)



b)

c)

Рис. 2.



РУС. 3

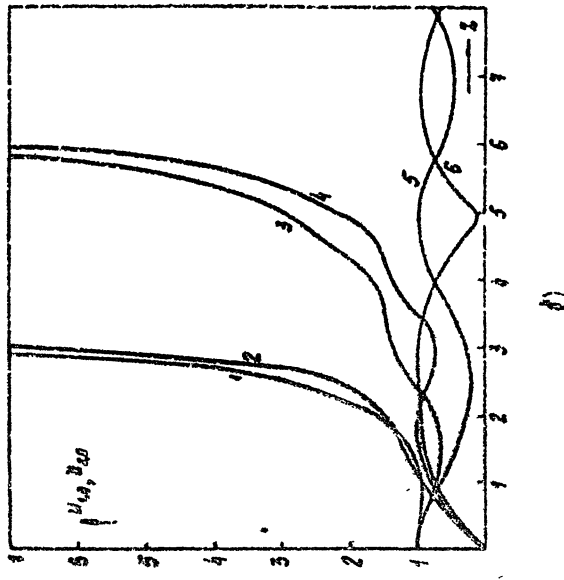
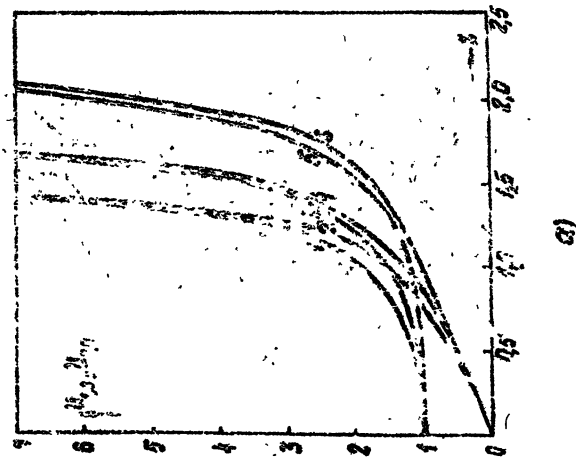
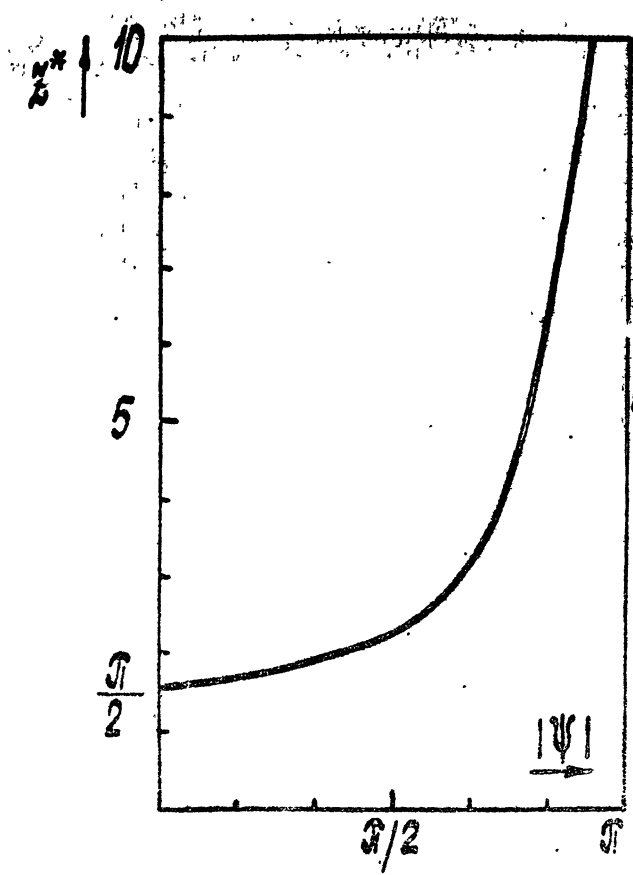


FIG. 4.



a)



РУС. 5